

مقایسه‌ی روش‌های مختلف شناسایی سیستم با به کارگیری نگاشت‌های حاصل از آزمایش ارتعاش محیطی مدل $\frac{1}{2}$ یک ساختمان فولادی ۴ طبقه با اتصالات خورجینی

محمد داوود (استادیار)

مسعود محمودآبادی (استادیار)

مسعود حسن (کارشناس ارشد)

پژوهشگاه بین المللی زلزله‌شناسی و مهندسی زلزله

در این نوشتار برای ارزیابی دقیق روش‌های مختلف شناسایی سیستم آزمایش ارتعاش محیطی بر روی مدل $\frac{1}{2}$ یک ساختمان فولادی ۴ طبقه با اتصالات خورجینی با استفاده از ۱۰ عدد دستگاه لرزه‌نگار سه مؤلفه‌ی انجام شد. مشخصات دینامیکی مدل شامل بسامدها، اشکال مدبی و میرایی‌های مدبی با استفاده از روش‌های چهار طیفی، مکوری، جستار قله و زیرفضای تصادفی به دست آمد و با نتایج مدل عددی مقایسه شد. در مجموع، پژوهش حاضر نشان می‌دهد که با وجود عدم اختلاف قابل توجه در مقادیر بسامدهای مدبی بدست آمده از چهار روش، مقادیر میرایی مدبی با روش‌های زیرفضای تصادفی و چهار طیفی دقیق‌تر برآورد می‌شوند و با استفاده از روش چهار طیفی و مکوری، اشکال مدبی اول ارتعاشی بادقت بالاتری به دست می‌آید. بدینهی است تعمیم نتایج فوق به دیگر سازه‌ها نیازمند مطالعات بیشتر است.

m-davood@iiees.ac.ir
mahmoud@iiees.ac.ir
m.hessan@iiees.ac.ir

واژگان کلیدی: آزمایش ارتعاش محیطی، شناسایی سیستم، روش چهار طیفی، روش مکوری، روش جستار قله، روش زیرفضای تصادفی، اتصال خورجینی.

مقدمه

سطح زمین در شهر کوشیر به دست آمد و نشان داده شد که این روش در موارد فوق و برای انواع سازه‌های دیگر کاربرد دارد. همچنین با استفاده از همین روش خصوصیات دینامیکی دو پل معلق نیوپرت و ویلیام پرستون در امریکا به دست آمد و با محاسبه‌ی تابع چگالی طیفی متقاطع^۱ اشکال مدبی برای این دو پل به دست آمد.^[۲]

همچنین در سال ۱۹۸۰ روشی برای شناسایی پارامترهای مدبی ساختمان‌ها ارائه شد که بر پایه‌ی کمینه‌سازی اختلاف بین پاسخ مدل و رکورد ثبت شده در سازه در حوزه‌ی زمان استوار بود.^[۳] سپس در همان سال از روشی مشابه در حوزه‌ی بسامد برای شناسایی پارامترهای مدبی استفاده شد.^[۴] روش جستار قله^۲ نیز در سال ۱۹۹۳ به منزله‌ی ساده‌ترین روش در به دست آوردن پارامترهای مodal یک سازه با استفاده از داده‌های ارتعاش محیطی ارائه شد.^[۵]

در سال ۱۳۸۲ با استفاده از روش چهار طیفی، بسامدها و اشکال مدبی سدهای مارون و مسجد سلیمان با استفاده از آزمایش‌های ارتعاش اجباری، محیطی و انفجارهای مختلف سایتی به دست آمد و نشان داده شد که روش چهار طیفی به دلیل برخورداری از تکنیک‌های جدید ایجاد شده در علم پردازش سیگنال، می‌تواند

آزمایش ارتعاشی درجا روشنی مناسب و عملی برای تعیین دقیق خصوصیات دینامیکی سازه‌است. مشکلات موجود در آزمایش سازه‌های با مقایس واقعی سبب انجام تلاش‌های زیاد برای دسترسی به روشی ساده و اقتصادی برای تعیین خصوصیات دینامیکی سازه‌ها شده‌اند که درنهایت روش آزمایش‌های محیطی به منزله‌ی روشی مناسب و کارآمد در این زمینه شناخته شده است. در این روش، ارتعاشات ناشی از عوامل طبیعی همچون لرزه‌های بسیار خفیف زمین، باد و ترافیک سبب ارتعاش سازه در مدهای مختلف آن می‌شود. با اندازه‌گیری پاسخ سازه در برابر این ارتعاش‌ها و تحلیل آن‌ها می‌توان خصوصیات دینامیکی سازه را بدون نیاز به قوع زمین لرزه و یا نصب لرزاننده‌های بزرگ و قوی روی سازه به دست آورد.

در سال ۱۹۸۵ در پژوهشی با تبدیل فوریه‌ی تابع خودهمبستگی خروجی سیستم، تابع چگالی طیفی که به تابع انتقال سیستم و به چگالی طیفی ورودی آن بستگی دارد به دست آمد.^[۶] آن‌گاه با استفاده از نقاط بیشینه‌ی منحنی چگالی طیفی، بسامدهای طبیعی چند ساختمان صنعتی در شهر توکیو و نقاط مختلف

در آن T مدت زمان شتاب نگاشت است.

$$\begin{aligned} \bar{A}_P(\omega, T) &= \left[1 + \sum_{r=1}^N \frac{\omega^r (b_r - \omega^r) - i\omega^r a_r}{(b_r - \omega^r)^2 + \omega^r a_r^2} c_{pr} \right] X(\omega, T) \\ &+ \sum_{r=1}^N \frac{b_r (b_r - \omega^r) + \omega^r a_r^2 - i\omega^r a_r}{(b_r - \omega^r)^2 + \omega^r a_r^2} v_{pr} \\ &+ \sum_{r=1}^N \frac{a_r b_r \omega^r + i\omega b_r (b_r - \omega^r)}{(b_r - \omega^r)^2 + \omega^r a_r^2} d_{pr} \end{aligned} \quad (2)$$

$$c_{pr} = \phi_{pr} \frac{\phi_r^T M r}{\phi_r^T M \phi_r} \quad (3)$$

$$a_r = 2\zeta_r \omega_r \quad (4)$$

$$b_r = \omega^r \quad (4)$$

که در آن، $X(\omega, T)$ تبدیل فوریه‌ی شتاب اندازه‌گیری شده در پایه‌ی سازه است. ϕ_r شکل مود r ام سازه است که مقدار آن در نقطه p از سازه ϕ_{pr} است. پارامترهای $v_{pr} = \dot{x}_{pr}(T) - \dot{x}_{pr}(0)$ و $d_{pr} = x_{pr}(T) - x_{pr}(0)$ نیز شرایط اولیه و انتهاي غیرصفر سرعت و تغییرمکان را در پاسخ شتاب سازه لحاظ می‌کند. شناسایی پارامترهای مدل c_{pr}, b_r, a_r و d_{pr} و v_{pr} با استفاده از متریک ϕ_{pr} می‌شود که می‌توان از میانگین‌گیری همپایه شده، تابع تعریف شده توسط رابطه‌ی ۱، کمیته‌ی مقدار خود را داشته باشد. ذکر این نکته ضروری است که هرگاه مقدار معیار عدم‌انطباق همپایه شده کمتر از 1% باشد تابع شناسایی عالی تلقی می‌شود، هرگاه این مقدار بین 1% تا 5% باشد تابع شناسایی قابل قبول است و هرگاه معیار عدم‌انطباق همپایه شده بزرگ‌تر از 5% باشد تابع شناسایی مردود تلقی می‌شود.^[۱] الگوریتم شناسایی و جزئیات کار در منابع آمده است.^[۲]

روش شناسایی چهار طیفی

قدرت روش چهار طیفی در استفاده‌ی هم‌زمان از خاصیت چهار طیف است: ۱) توان نگاشت ثبت شده در نقاط مختلف سازه؛ ۲) چگالی توان متقطع هر نقطه به نقطه‌ی مرجع؛ ۳) ارتباط؛ ۴) فاز متقطع آن‌ها در حالتی که محرك ورودی در دسترس نیست.^[۳] با استفاده از این روش و الگوریتم ارائه شده در مطالب ذیل، بسامدهای طبیعی سیستم به راحتی از سایر قله‌های موجود در طیف چگالی توان که می‌تواند به محرك‌های ورودی سیستم ارتباط داشته باشد، متمایز می‌شوند.

محاسبه‌ی بسامدهای طبیعی

برای استفاده از روش میانگین‌گیری طیفی، نگاشت زمانی تصحیح شده به بلوک‌های کوچک تجزیه شد. بدین منظور برای کاهش هم‌زمان خطاهای پیشا و انحراف، بهترین تعداد متوسطگیری و تعداد نقاط هم‌پوشانی برای پنجره‌ی استفاده شده همانند پنجره‌ی هنینگ^۵ به دست آمد. دامنه‌ی طیف PSD (رابطه‌ی ۵) کلیه‌ی بلوک‌ها به دست آمد و با استفاده از روش ولچ^۶، طیف هموارشده محاسبه شد. با روش متوسطگیری ولچ و برآسانس بهترین مقادیر به دست آمد که برای تعداد نقاط متوسطگیری و تعداد نقاط هم‌پوشانی (برآسانس پنجره‌ی انتخابی)، دامنه و فاز چگالی طیفی متقطع^۷ (رابطه‌ی ۶) و همچنین دامنه‌ی طیف ارتباط^۸ (رابطه‌ی ۹) کلیه‌ی نقاط نسبت به نقطه‌ی مرجع به دست آمد. قله‌هایی از طیف PSD به مزدیه کاندید بسامدهای مددی انتخاب شدند که در بسامدهای مذکور اولاً طیف دامنه‌ی CPS نیز دارای قله بود، ثانیاً دامنه‌ی طیف ارتباط، مقادیری بزرگ (نزدیک واحد) داشتند و ثالثاً طیف فاز متقطع آن‌ها (رابطه‌ی ۸) دارای مقادیر نزدیک صفر یا 180° درجه بود. از بین

در حکم روشی مناسب در استخراج مشخصات دینامیکی سدهای خاکی استفاده شود.^[۴] در ادامه‌ی مطالعه‌های انجام شده در زمینه‌ی روش چهار طیفی، ارتعاشات محیطی یک ساختمان ۵ طبقه با روش مذکور مطالعه شد و توانایی بالای این روش در شناسایی مشخصات دینامیکی سازه‌ها با مقایسه‌ی نتایج حاصل از روش‌های پیش‌رفته‌ی پردازش سیگنال نشان داده شده است.^[۵]

همچنین روش زیرفضایی تصادفی^۲ که در حوزه‌ی زمان، مشخصات دینامیکی سازه‌ها را با دقت مناسبی استخراج می‌کند، در آزمایش ارتعاش محیطی ساختمان ۱۵ طبقه‌ی لویس استفاده شده است.^[۶]

در این پژوهش برای مقایسه‌ی دقت روش‌های مختلف شناسایی سیستم به کاررفته در آزمایش ارتعاش محیطی سازه‌ها، مدل^۷ یک ساختمان فولادی^۴ طبقه با اتصالات خورجینی، با نصب تعداد مناسبی دستگاه‌های لرزه‌نگار در طبقات مختلف آن، تحت آزمایش ارتعاش محیطی قرار گرفت و رکوردهای ثبت شده با استفاده از چهار روش مختلف پردازش سیگنال که در مرور ادبیات فنی به آن‌ها اشاره شد، تحلیل شد. همچنین مدل عددی سازه‌ی مذکور تهیه شد تا ضمن مقایسه‌ی پارامترهای دینامیکی به دست آمده از تمامی روش‌های مورد استفاده در تحقیق، دقت روش‌های مختلف پردازش سیگنال ارزیابی شود و قابلیت‌ها و نقاط ضعف و قوت آن‌ها مشخص شود.

مبانی نظری روش‌های شناسایی مورد بررسی

در یک نگاه کلی به چهار روش شناسایی سیستم استفاده شده در نوشتار حاضر می‌توان گفت که دو روش چهار طیفی و جستار قله: برآسانس استفاده از خواص طیف‌های مختلف سیگنال‌های ثبت شده، مشخصات دینامیکی سیستم را استخراج می‌کند، در حالی که دو روش مکوری و SSI^۸ بر مبنای یک الگوریتم ریاضی پایه‌گذاری شده‌اند. در ادامه، مبانی نظری چهار روش مذکور به اجمال شرح داده می‌شود.

روش شناسایی مکوری

روش مکوری، روش شناسایی در حوزه‌ی بسامد، با فرض ورودی مشخص است که از آن برای شناسایی پارامترهای دینامیکی ساختمان‌ها به کمک رکوردهای ثبت شده از زمین لرزه‌های طبیعی استفاده شده است.^[۹] فرض اولیه‌ی استفاده از این روش در شناسایی پارامترهای دینامیکی ساختمان‌ها با استفاده از رکوردهای ارتعاشات محیطی، مشخص بدن ورودی سیستم (تحریکات ثبت شده در پای مدل) است. مکوری با تعریف تابع $1/\omega$ با عنوان معیار عدم انطباق هم‌پایه شده^{۱۰} از آن نام برده و با کمیته‌ی سازی این تابع، پارامترهای مددی چند ساختمان که شتاب آن‌ها در زمان زلزله ۱۹۷۱ سان فراناندو اندازه‌گیری شده بود را شناسایی کرد.

$$E = \frac{\sum_{\ell_{\min}}^{\ell_{\max}} |A(\ell \Delta \omega, T) - \bar{A}_P(\ell \Delta \omega, T)|^2}{\sum_{\ell_{\min}}^{\ell_{\max}} |A(\ell \Delta \omega, T)|^2} \quad (1)$$

در رابطه‌ی ۱، A تبدیل فوریه‌ی محدود گسسته‌ی شتاب اندازه‌گیری شده در نقطه‌ی p از سازه؛ \bar{A}_P تبدیل فوریه‌ی شتاب مدل در همان نقطه، با فرض رفتار خطی و میرایی مناسب است که با رابطه‌ی ۲ نشان داده شده است: $\omega = \frac{\pi}{T}$ است و

روش شناسایی جستار قله
 روش جستار قله (PP) ساده‌ترین روش موجود در به دست آوردن پارامترهای مودال یک سازه با استفاده از داده‌های ارتعاش محیطی است.^[۱] در این روش بسامدهای طبیعی سیستم از قله‌های نمودار میانگین نرمال شده‌ی چگالی‌های طبیعی توانی (ANPSD) به دست می‌آید. در این روش برای تعیین بسامدهای طبیعی سیستم از نمودار PSD استفاده می‌شود. و برای دندرگرفتن اثر تمامی حسگرهایی که روی سازه قرار دارند و ارتعاشات سازه را ثبت می‌کنند از نمودار ANPSD استفاده می‌شود. این نمودار با استفاده از رابطه‌ی ۱۰ به دست می‌آید.

$$NPSD_i = \frac{PSD_i}{\sum_{k=1}^n PSD_i(f_k)}$$

$$ANPSD(f_k) = \frac{1}{l} \sum_{i=1}^l NPSD_i(f_k) \quad (10)$$

در رابطه‌ی ۱۰، f_k ، k ، n امین بسامد گستته؛ n تعداد کل بسامدهای گستته؛ PSD_i چگالی توانی نامین حسگر؛ $NPSD_i$ چگالی توانی نرمال شده‌ی نامین حسگر؛ l تعداد کل حسگرها است.

با استفاده از رابطه‌ی فوق نموداری به دست می‌آید که با نرمال کردن و میانگین‌گیری تمام PSD های به دست آمده اثر تمام حسگرها در یک نمودار نشان داده می‌شود.

روش زیر فضای تصادفی (SSI)

مدل دینامیکی یک سازه را می‌توان با مجموعه‌ی از معادلات دیفرانسیل خطی درجه‌ی دوم با ضرایب ثابت بیان کرد.

$$M\ddot{U}(t) + C\dot{U}(t) + KU(t) = F(t) \quad (11)$$

در معادله‌ی ۱۱، M ، C و K به ترتیب ماتریس‌های جرم، میرایی و سختی سازه هستند. بردار (t) U بردار تغییرمکان در کلیه‌ی درجات آزادی سیستم است و $F(t)$ بردار نیروهای وارد بر سازه است. معادله‌ی ۱۱ را به روش‌های مختلف می‌توان به صورت یک سیستم معادلات دیفرانسیل درجه‌ی اول بازنویسی کرد، که یکی از روش‌های معمول، استفاده از فضای حالت است.

$$\dot{x}(t) = A_c x(t) + B_c u(t) \quad (12)$$

در معادله‌ی ۱۲، بردار حالت برابر است با $\begin{bmatrix} U(t) \\ \dot{U}(t) \end{bmatrix}$ و ماتریس حالت A_c و ماتریس ضرایب تأثیرکنترل سیستم B_c به صورت رابطه‌ی ۱۳ تعریف می‌شوند:

$$F(t) = B_1 u(t),$$

$$A_c = \begin{bmatrix} 0 & 1 \\ -M^{-1}K & -M^{-1}C \end{bmatrix}, \quad B_c = \begin{bmatrix} 0 \\ M^{-1}B_1 \end{bmatrix} \quad (13)$$

به همین ترتیب بردار خروجی موردنظر، $y(t)$ را می‌توان به صورت ترکیب خطی از حالت‌های سیستم بیان کرد:

$$y(t) = Cx(t) + Du(t) \quad (14)$$

در معادله‌ی ۱۴ C ماتریس ضرایب تأثیر خروجی واقعی و D ماتریس ضرایب تأثیر کنترل خروجی است. از ترکیب معادله‌های ۱۲ و ۱۴ مدل فضای حالت پیوسته‌ی

بسامدهای به دست آمده برای کلیه‌ی نقاط اندازه‌گیری (طبق بند فوق)، بسامدهای به منزله‌ی بهترین کاندید بسامدهای مذکوی انتخاب شدند که اولاً دارای تکرارپذیری بیشتری بودند، ثانیاً با توجه به فراوانی در بین نقاط، مقادیر طیف ارتباط بیشتر از ۵٪ داشتند. برای کلیه‌ی بسامدهای انتخابی در مرحله‌ی آخر اشکال مذکوی رسم شد و در هر بسامدی که شکل حاصله مذکوی از حرکت ارتعاشی ساختمان را شناسایی می‌کرد، بسامد موردنظر به منزله‌ی بسامد مذکوی تعیین شد.

$$PSD : S_{xx}(f) = \int_{-\infty}^{\infty} R_{xx}(\tau) e^{-J\pi f\tau} d\tau \quad (5)$$

$$CPS : S_{xy}(f) = \int_{-\infty}^{\infty} R_{xy}(\tau) e^{-J\pi f\tau} d\tau \quad (6)$$

$$S_{xy}(f) = C_{xy}(f) - jQ_{xy}(f), \quad j = \sqrt{-1} \quad (7)$$

$$\theta_{xy}(f) = \tan^{-1} \left[\frac{Q_{xy}(f)}{C_{xy}(f)} \right] \quad (8)$$

$$CS : \gamma_{xy}^*(f) = \frac{|S_{xy}(f)|}{S_{xx}(f) S_{yy}(f)} \quad (9)$$

در رابطه‌های ۹ تا ۱۰، S_{xx} و R_{xx} چگالی طبیعی توان وتابع خودهمبستگی نقطه‌ی از سازه؛ S_{xy} و R_{xy} طیف توان متقاطع وتابع همبستگی متقاطع بین نگاشت نقطه‌ی خروجی x و نگاشت نقطه‌ی مرجع y است. S_{xy} مقادیر مختلطی هستند که اگر مقادیر حقیقی با C_{xy} و موهومی با Q_{xy} نشان داده شود، برای تشخیص هم‌فاز یا در فاز مخالف بودن ارتعاشات دو نقطه‌ی x و y در بسامدهای موردنظر می‌توان طیف فاز همبستگی متقاطع θ_{xy} دو نگاشت x و y را با رابطه‌ی ۸ محاسبه کرد.

در رابطه‌ی ۹، تابع CS طیف ارتباط بین دو نگاشت $(x(t), y(t))$ باسخ دو نقطه از ساختمان به یک محرک مشترک است. اگر چنانچه به هنگام ثبت ارتعاشات، بویزه‌های خارجی وجود نداشته باشد و همچنین در محسابات طبیفی، خطاهای محساباتی وارد نشود در این صورت می‌توان انتظار داشت دو نگاشت کاملاً وابسته باشند و مقادیر طیف ارتباط برای کلیه‌ی بسامدها برابر واحد شود. در حقیقت طیف مذکور در بسامدهای غالب دچار تشدید می‌شود و در منحني تغییرات دامنه‌ی طیف بر حسب بسامد به صورت قله ظاهر می‌شود. پس می‌توان ادعا کرد برای قله‌هایی از طیف ارتباط که مرتبط بر قله‌های PSD و CPS می‌شوند اطمینان بیشتری نسبت به بسامد تشدید بودنشان وجود دارد.^[۱۰]

برآورد اشکال مذکور

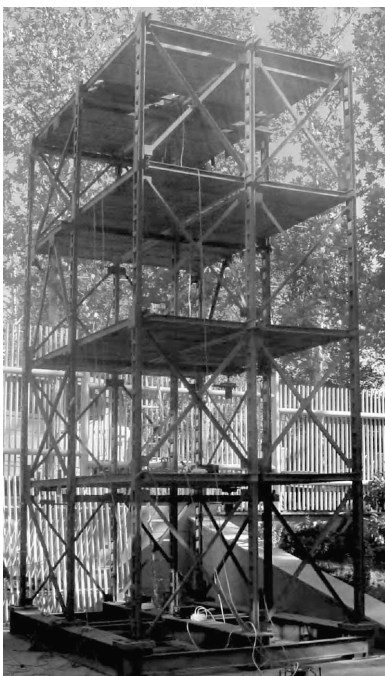
با انجام آزمایش ارتعاش محیطی و پیگیری گام‌های ارائه شده، در صورتی که شکل مد به دست آمده یکی از اشکال مذکوی شناخته شده‌ی ساختمان را شناسایی کند، بسامد موردنظر به عنوان بسامد مذکور و شکل مربوط به عنوان شکل مد تقی می‌شود. گام‌های روش به شرح زیر است:

نگاشت در بسامد پیشنهادی به دست می‌آید و جذر مقدار حاصله محسابه می‌شود. جذر دامنه‌ی طیف به دست آمده در کلیه‌ی نقاط نسبت به طبقه‌ی چهارم (تاز بام) هم‌بایه می‌شود. با این عمل، دامنه‌ی شکل مد در تاز بام برای همه‌ی اشکال مذکور برابر با واحد می‌شود. زاویه‌ی فاز طیف CPS در بسامد مذکور قرائت می‌شود. اگر مقدار فاز در ربع اول و چهارم دایره‌ی مثلثاتی قرار گیرد، دو نقطه‌ی موردنظر (نقطه‌ی محل ثبت نگاشت نسبت به نقطه‌ی مرجع) هم فاز و در صورتی که مقدار فاز در ربع دوم و سوم دایره‌ی مثلثاتی قرار گیرد، دو نقطه در فاز مخالف قرار دارند. با توجه به جذر دامنه و نوع فاز به دست آمده، شکل مد ارتعاشی ترسیم می‌شود.

شرح آزمایش

مدل مورد آزمایش در مقیاس $\frac{1}{5}$ و با مساحت کل $35/52 \times 37/24$ مترمربع در چهار طبقه به ارتفاع ۶ متر و با پلان مستطیلی به ابعاد $3/7 \times 2/4$ متر است. پلان ساختمان در چهت عرضی دارای دو دهانه $1/20$ متری و درجهت طولی دارای دو دهانه $1/85$ متری است. همچنین هر طبقه از مدل دارای ارتفاع $1/5$ متر است. تیرهای خورجینی در جهت طول پلان قرار داده شده‌اند و تیرچه‌ها موازی با عرض پلان هستند. این مدل بدون دیوار و سقف آن از نوع طاق ضربی است. تیرهای اصلی که به صورت خورجینی از کنار ستون‌ها عبور می‌کنند، از پروفیل 80×25 IPE است و برای ستون‌ها از دو عدد ناودانی 20×25 UNP50 که با تسممه به یکدیگر متصل شده‌اند، استفاده شده است. در جهت عرضی مدل مذکور دارای بادبندی‌های ضربدری از نوع پروفیل نبیشی $40 \times 40 \times 40$ L40 در چهار دهانه است که با جوش به سازه وصل شده‌اند. در جهت طولی نیز کلاً در دو دهانه، بادبند از نوع نبیشی $40 \times 40 \times 40$ L40 دارد که با پیچ به سازه متصل شده‌اند. پوشش کف به صورت طاق ضربی با آجرهای سفالی و ملات گچ و خاک اجرا شده است. برای ایجاد دیافراگم صلب طبقات، آرماتورهای با قطر 12 میلی‌متر به صورت ضربدری بر روی کف طبقات نصب شدند. در شکل ۱ نمایی کلی از سازه‌ی مذکور نشان داده شده است و در شکل ۲ نحوه اتصال تیرهای خورجینی به ستون‌ها رسم شده است.

برای ثبت رکوردهای ارتعاش محیطی سازه در این آزمایش از ده عدد سنسور سه مؤلفه‌یی استفاده شد که در هر طبقه از سازه دو سنسور، در دو انتهای طول پلان و دو سنسور نیز در دو انتهای طول شاسی (دو طرف پلان) برای ثبت ارتعاشات ورودی به کار گرفته شد. آرایش و محل قرارگیری سنسورها در شکل‌های 3 تا 5 ملاحظه می‌شود. سنسورهای مذکور به مدت 24 ساعت با نزد نمونه‌برداری 100 نمونه در ثانیه ارتعاشات مدل را ثبت کردند و در مدت رکورددگیری به دستگاه GPS برای هم‌زمانی رکوردها متصل بودند. این تذکر لازم است که با مقایسه‌ی طیف فوریه،



شکل ۱. نمای مدل مورد آزمایش.

زمانی یک سیستم به دست می‌آید. پیوسته‌ی زمانی بودن این مدل بدین معنی است که در هر زمانی می‌توان این معادلات را به دست آورد. البته این فرض به عملت اینکه داده‌های به دست آمده از آزمایش ارتعاشی به صورت گسسته هستند صحیح نخواهد بود. می‌توان مدل فضای حالت پیوسته‌ی زمانی را به صورت معادله‌ی 15 ، به فرم گسسته‌ی زمانی تبدیل کرد:

$$\begin{aligned} x_{k+1} &= Ax_k + Bu_k \\ y_k &= Cx_k + Du_k \end{aligned} \quad (15)$$

در معادله‌ی 15 ، $x_k = x(k\Delta t)$ بردار حالت گسسته‌ی زمانی و $A = e^{(AC\Delta t)}$ ماتریس سیستم در حالت گسسته‌ی زمانی است. همچنین $B = [A - I] A_c^{-1} B_c$ ماتریس ورودی گسسته است. معادله‌ی 15 ، یک مدل فضای حالت گسسته‌ی زمانی از سیستم دینامیکی را بیان می‌کند.

در عمل همواره عدم قطعیت‌های شامل نویفه‌های اندازه‌گیری و محاسباتی وجود دارد. نویفه‌ی محاسباتی به عملت خطاهای مدل‌سازی و نویفه‌ی اندازه‌گیری به عملت خطاهای حسن‌گر و خطاهای محیطی به وجود می‌آید. با درنظرگرفتن نویفه‌ی محاسباتی w_k و نویفه‌ی اندازه‌گیری v_k ، معادله‌ی 15 را می‌توان به صورت معادله‌ی 16 اصلاح کرد:

$$\begin{aligned} x_{k+1} &= Ax_k + Bu_k + w_k \\ y_k &= Cx_k + Du_k + v_k \end{aligned} \quad (16)$$

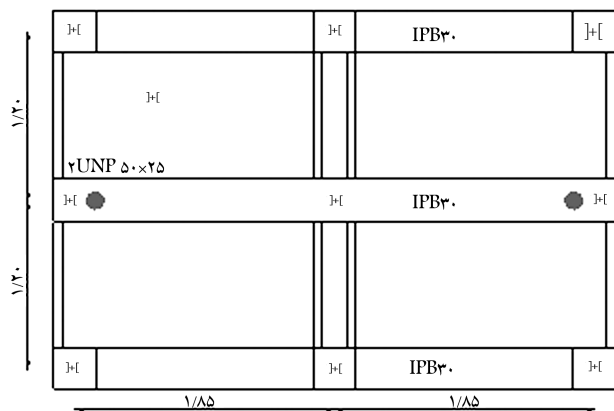
از آنجا که دستیابی به خصوصیات صحیح نویفه‌های اندازه‌گیری و محاسباتی به طور صحیح دشوار است، از برخی فرضیات ساده‌کننده استفاده می‌کنیم. فرض می‌شود که هر دو نویفه‌ی اندازه‌گیری و محاسباتی، نویفه‌ی سفید با میانگین صفر هستند و ماتریس‌های کواریانس آن‌ها به صورت رابطه‌ی 17 تعریف می‌شود:

$$E \left[\begin{pmatrix} w_p \\ v_p \end{pmatrix} \left(w_q^T + v_q^T \right) \right] = \begin{pmatrix} Q & S \\ S^T & R \end{pmatrix} \delta_{pq} \quad (17)$$

در معادله‌ی 17 ، $E[\dots]$ امید ریاضی و δ_{pq} دلتای کرونکر است و فرض می‌شود w_k و v_k از لحظه آماری مستقل از یکدیگر هستند. در آزمایش ارتعاش محیطی ورودی ناشناخته است در نتیجه با حذف w_k در معادله‌ی 16 معادله‌ی 18 استخراج می‌شود:

$$\begin{aligned} x_{k+1} &= Ax_k + w_k \\ y_k &= Cx_k + v_k \end{aligned} \quad (18)$$

محرك ورودی در معادله‌ی 18 ، با جملات نویفه w_k و v_k مدل می‌شود. در صورتی که محرك ورودی نویفه سفید نباشد بسامدهای غالب آن می‌تواند دقت محاسبات را کاهش دهد و به صورت قطب‌های ماتریس سیستم A ظاهر شوند. شناسایی سیستم از طریق آزمایش‌های ارتعاش محیطی در حوزه‌ی زمان براساس معادله‌ی 18 انجام می‌گیرد. چندین روش برای اجرای شناسایی سیستم با توجه به معادله‌ی 18 وجود دارد. روش شناسایی زیرفضای تصادفی ماتریس‌های فضای حالت را با استفاده از ابزار قدرتمند ریاضی از طریق تجزیه‌ی مقادیر تکین یا روش حداقل مربعات به دست می‌آورد. بعد از محاسبه‌ی ماتریس‌های حالت پارامترهای مودال با استفاده از تجزیه‌ی مقادیر ویژه این ماتریس‌ها به دست می‌آیند. در همه‌ی روش‌ها از طریق آزمایش‌های ارتعاش محیطی به عملت ناشناخته بودن ورودی یک مقیاس نرمال‌کننده برای شکل‌های مودی شناخته شده وجود ندارد؛ به عبارت دیگر نرمال‌کردن اشکال مودی نسبت به جرم ممکن نیست.



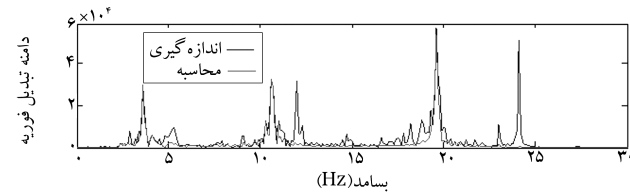
شکل ۵. محل استقرار حسگرها بر روی شاسی.

رکورد مجموع و رکورد تفاصل مؤلفه های شمالی - جنوبی دو سنسور واقع در هر طبقه، می توان مدهای ارتعاشی جانبی جهت شمالی - جنوبی را از مدهای ارتعاشی پیچشی سازه تفکیک کرد. در زمان رکورددگیری، پیچ های یکی از دواتهای بادبند های راستای شرقی - غربی باز شد تا سختی آنها وارد کار نشد. حذف بادبند برای یکسان سازی ساختی سازه با شرایط آزمایش ارتعاش اجباری بود که پیش از این بر روی مدل مذکور انجام شده بود.

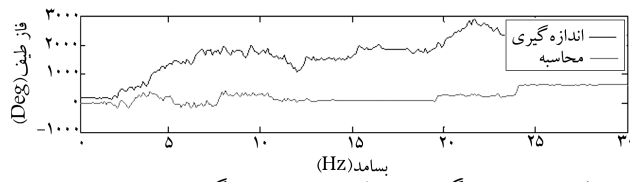
نتایج روش های شناسایی مورد بررسی در آزمایش انجام شده

نتایج روش شناسایی مک وری

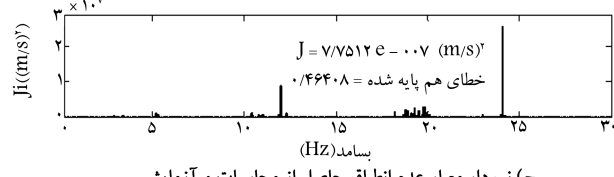
در شکل ۶ برای نمونه، وضعیت انبات مدل با رکورد واقعی ثبت شده در حوزه بسامد در طبقه چهارم برای راستای شرقی - غربی ملاحظه می شود. این تذکر لازم



الف) مقایسه دامنه تبدیل فوریه ای شتاب مطلق مدل محاسباتی با اندازه گیری؛

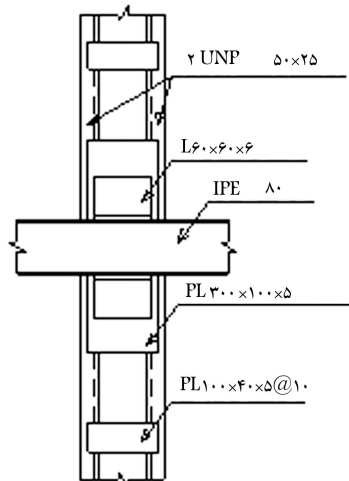


ب) مقایسه فاز میانگین شتاب مدل محاسباتی با اندازه گیری.

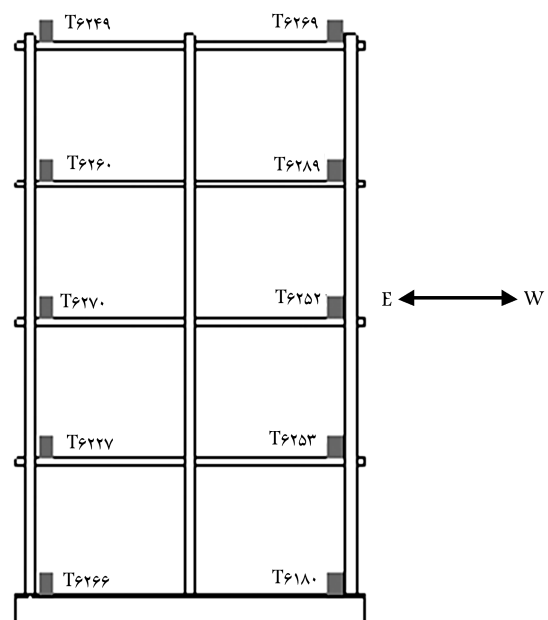


ج) نمودار معیار عدم اطمینان حاصل از محاسبات و آزمایش.

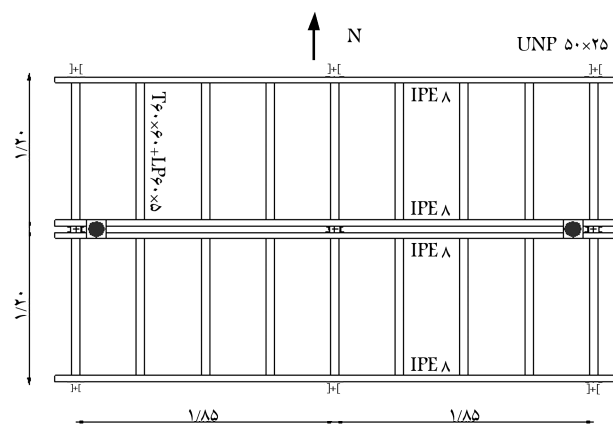
شکل ۶. وضعیت انبات مدل عددی با رکورد واقعی اندازه گیری شده در تراز طبقه چهارم در جهت شرقی - غربی.



شکل ۲. اتصال تیرهای خورجینی به ستون.



شکل ۳. آرایش حسگرها در طبقات.



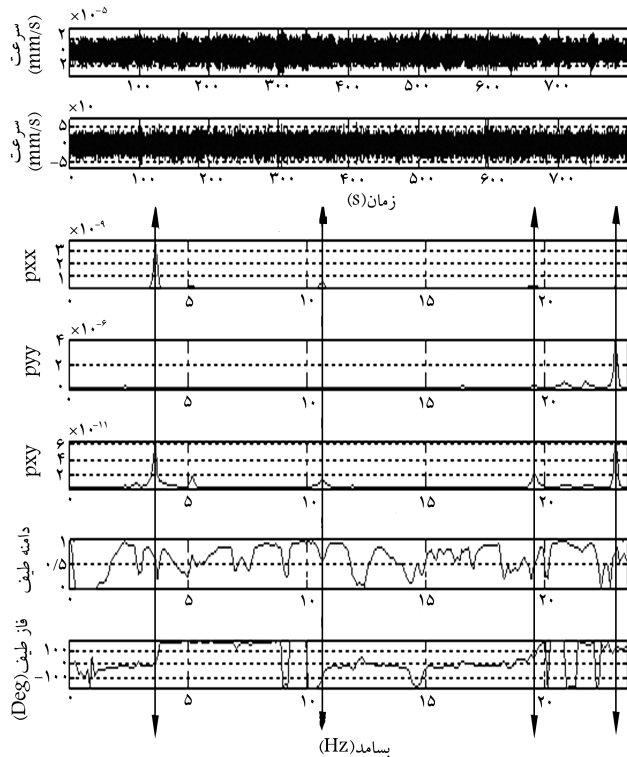
شکل ۴. محل استقرار حسگرها در هر طبقه.

جدول ۱. نتایج شناسایی سه مود اول ارتعاشی جهت شرقی - غربی در تمامی نقاط برداشت (پشت بام و طبقات) با استفاده از روش مک‌وری.

محل ثبت رکورد	شماره‌ی مدارتعاشی	بسامد (Hz)	میرایی (%)	ضریب مشارکت مدل	معیار عدم انطباق همپایه شده (N.e)
طبقه‌ی چهارم	۱	۲,۶۷۵	۲,۲۱۰	۱,۵۵۱	۰,۴۶
	۲	۱۰,۶۲۹	۰,۳۴۳	-۰,۳۲۸	۰,۴۶
	۳	۱۹,۶۳۳	۰,۰۳۸	۰,۰۵۳	۰,۴۶
طبقه‌ی سوم	۱	۲,۶۹۳	۱,۳۴۳	۰,۹۱۴	۰,۴۸
	۲	۱۰,۶۳۶	۰,۱۳۶	۰,۱۱۰	۰,۴۸
	۳	۱۹,۶۴۳	-۰,۰۲۲	-۰,۰۵۱	۰,۴۸
طبقه‌ی دوم	۱	۲,۶۶۴	۳,۴۴۳	۰,۶۲۴	۰,۳۲
	۲	۱۰,۶۲۳	۰,۳۲۵	۰,۳۹۷	۰,۳۲
	۳	۱۹,۴۵۹	۰,۰۱۸	-۰,۰۰۲	۰,۳۲
طبقه‌ی اول	۱	۲,۶۰۰	۰,۲۰۱	۰,۲۲۸	۰,۴۰
	۲	۱۰,۶۱۹	۰,۳۵۸	۰,۴۷۸	۰,۴۰
	۳	۱۹,۶۳۰	۰,۱۰۷	۰,۱۴۰	۰,۴۰

جدول ۲. مقایسه‌ی بسامدهای شناسایی شده در آزمایش ارتعاش محیطی با استفاده از چهار روش پردازش سیگنال، مدل عددی و آزمایش ارتعاش اجباری.

جهت	شماره‌ی مود	روش مک‌وری	روش چهار طیفی	روش PP	SSI	مدل عددی	تست ارتعاش اجباری
شرقی - غربی	۱	۳,۶۶۰	۳,۶۱۷	۳,۶۳۸	۲,۶۱۵	۲,۲۴	۲,۲۴
	۲	۱۰,۶۳۰	۱۰,۶۴۰	۱۰,۶۲۰	۱۱,۱۸۶	۷,۹۴	۷,۹۴
	۳	۱۹,۵۹۰	۱۹,۶۳۰	۱۹,۵۸۰	۱۹,۰۹۸	۱۶,۱۰	۱۶,۱۰
	۴	-	۲۲,۹۵۰	۲۲,۹۹۸	۲۴,۰۶۹	۲۶,۳۰۸	-



شکل ۷. شرح تصویری روش چهار طیفی، برای ارتعاشات جهت شرقی - غربی تراز طبقه‌ی چهارم مدل. از بالا به پایین به ترتیب: تاریخچه‌ی زمانی سرعت x و y، دامنه‌ی طیف توان x و y، دامنه‌ی طیف توان متقارن، دامنه‌ی طیف ارتباط و فاز طیف متقارن.

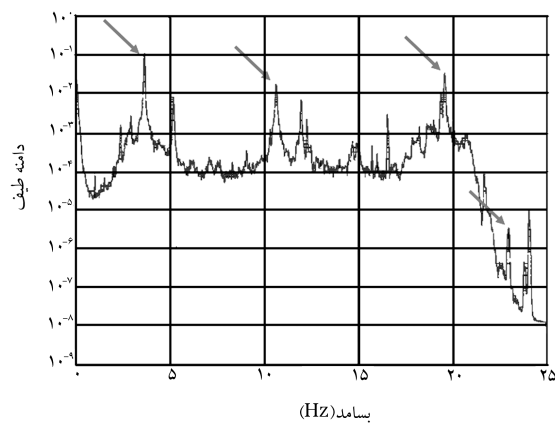
است که در این مرحله از شناسایی رکورد مؤلفه‌ی شرقی - غربی حسن‌گر ۶۱۸۰ مستقر بر روی شناسی به منزله‌ی ورودی و میانگین رکورد مؤلفه‌های شرقی - غربی حسن‌گر های مستقر در طبقه‌ی چهارم به منزله‌ی خروجی سیستم فرض شده است. در این شکل:

منحنی اول: مقایسه‌ی دامنه‌ی تبدیل فوریه‌ی شتاب مطلق اندازه‌گیری شده درسازه و شتاب مدل فرضی؛

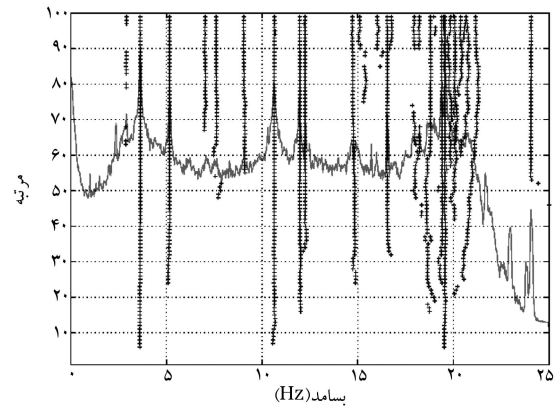
منحنی دوم: مقایسه‌ی فاز تجمعی تبدیل فوریه‌ی شتاب مطلق اندازه‌گیری شده در سازه و شتاب مدل فرضی؛

منحنی سوم: عناصر معیار عدم انطباق در بسامدهای گسسته‌ی مختلف به همراه معیار عدم انطباق کل، زو-معیار عدم انطباق همپایه شده هستند. این نمودارها مربوط به تحلیل ۱۰۰۰ نقطه از رکوردها، معادل ۱۰ ثانیه از نگاشت ثبت شده هستند که به طور هم‌زمان در طبقات مختلف و شاسی مدل ثبت شده‌اند. با توجه به شکل ۷، میزان هم‌گرایی دامنه‌ی تبدیل فوریه‌ی شتاب مطلق اندازه‌گیری شده درسازه و شتاب فرضی در طبقه‌ی چهارم برای بسامدهای ۳,۶۶۰، ۱۰,۶۳۰ و ۱۹,۵۹۰ ملاحظه می‌شود. شایان ذکر است قله‌هایی که در آن‌ها هم‌گرایی حاصل نشده است مربوط به بسامدهای ارتعاشی در جهت مخالف و یا نویزهای موجود در محرک ورودی سیستم هستند.

در جدول ۱، نتایج شناسایی پارامترهای مدل برای سه مدل اول انتقالی جهت شرقی - غربی (راستای اتصالات خورجینی) در طبقات مختلف آورده شده است. شایان ذکر است در این روش همان‌طور که ملاحظه می‌شود، برای هر نقطه‌ی برداشت در سازه، مقادیری برای بسامدهای ارتعاشی و میرایی ساختمان بدست می‌آید که میانگین تمام این مقدادر نهایی پارامترهای دینامیکی سازه هستند که در جدول‌های ۲ و ۳ ملاحظه می‌شود. همچنین از مقادیر به دست آمده ضرایب مشارکت



شکل ۸. طیف ANPSD حاصل از روش جستار قله برای ارتعاشات راستای شرقی-غربی مدل.



شکل ۹. دیاگرام پایداری حاصل از روش SSI برای ارتعاشات راستای شرقی-غربی.

علامت + مشخص شده است، قطب‌های پایدار سیستم هستند که برای مرتبه‌های مختلف ترسیم شده‌اند. همچنین نمودار ANPSD در پس زمینه برای نشان دادن هماهنگی بین قطب‌های پایدار روش SSI و قله‌های طیف به دست آمده برای ارتعاشات جهت شرقی-غربی آورده شده است. نتایج روش SSI برای شناسایی مدل ۱ در جدول‌های ۲ و ۳ ملاحظه می‌شود. جزئیات روش SSI در مرجع ۱۱ آمده است.

نتایج حاصل از مدل رایانه‌یی

در ادامه‌ی کار، مدل رایانه‌یی از سازه‌ی مذکور تهیه و اتصالات خورجینی به صورت فزرهای پیچشی در این مدل رایانه‌یی در نظر گرفته شدند. سپس با تغییر سختی پیچشی فزرها مدل کالبیره شد، به طوری که بسامد اصلی مدل رایانه‌یی بر بسامد اصلی اندازه‌گیری شده‌ی سازه منطبق شد (با در نظر گرفتن سختی پیچشی برای راهنمایی ۳۵ تونتر بر رادیان برای اتصالات خورجینی بسامد اصلی مدل رایانه‌یی بر بسامد اصلی اندازه‌گیری شده‌ی سازه منطبق شد). همچنین شکل مدهای ارتعاشی مدل رایانه‌یی و شکل مدهای اندازه‌گیری شده‌ی سازه با یکدیگر مقایسه شدند. لازم به ذکر است که برای مدل کردن سازه‌ی مذکور از نرم افزار SAP Ver. ۱۱ استفاده شده است. در شکل ۱۰، مقدار سختی در نظر گرفته شده برای اتصالات خورجینی مشاهده می‌شود.

جدول ۳. درصد میرایی‌های شناسایی شده از روش‌های مک‌وری، چهار طیفی، SSI و آزمایش ارتعاش اجباری در مدل.

جهت	شماره‌ی مود	روش مک‌وری	روش طیفی	روش SSI	تست ارتعاش اجباری
شرقی-	۱	۰,۳۵۹	۰,۵۵۱	۰,۶۲	
	۲	۰,۴۹۴	۰,۴۸۰	۰,۸۴	
غربی	۳	۰,۱۲۴	۰,۲۴۴	۰,۵۱	
	۴	-	۰,۱۰۴	۰,۱۳۹	-

مدى در طبقات مختلف، برای به دست آوردن اشکال مدي استفاده شده است. در جدول ۱، مقدار میرایی منفي مدي سوم، در طبقه‌ی سوم مي تواند به علت فرضيات اوليه‌ی روش مک‌وری باشد که ورودی را معلوم درنظر مي‌گيرد و اثر سایر محرك‌ها، همچون باد در نظر گرفته نمي‌شود.

نتایج روش شناسایی چهار طیفی

در شکل ۷، نمونه‌یی از نتایج استفاده از روش چهار طیفی بین نگاشت طبقه‌ی چهارم و تراز شاسی برای راستای شرقی-غربی ملاحظه می‌شود. اين تذکر لازم است که برای شناسایی از ۱۵ دقیقه‌ی مشترک از نگاشت‌های ثبت شده در نقطه‌ی مبنی (شاسی مدل) و طبقات آن، استفاده شده است. در شکل ۷، منحنی اول میانگین مؤلفه‌ی شرقی-غربی نگاشت سرعت-زمان دو حسنگ راکع بر روی طبقه‌ی چهارم (T62249, T62691) است که معرف نوسانات شرقی-غربی طبقه‌ی مذکور است. منحنی دوم مؤلفه‌ی شرقی-غربی نگاشت سرعت-زمان حسنگ راکع بر روی شاسی (T6180) است که معرف نوسانات شرقی-غربی نقطه‌ی مبنی است. با توجه به شکل مذکور و نتایج محاسبات چهار طیفی در نقاط بسامد‌های ۳,۶۲، ۳,۶۳، ۱۰,۶۴، ۱۹,۶۳ و ۲۲,۹۵ هرتز به مبنیه‌ی بسامد‌های مدي کاندید شدند تا در نهایت با رسم اشکال مدي، مقادير کاندید شده قطعی شوند.

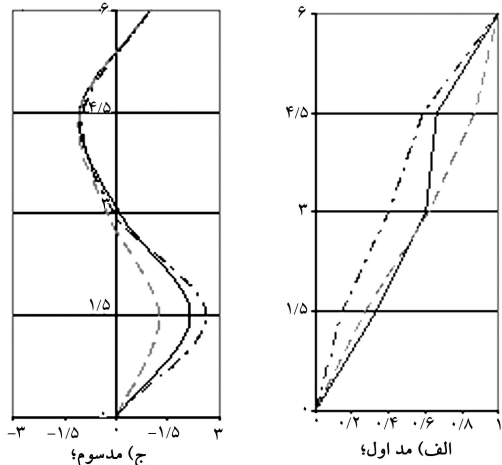
بعد از قطعی کردن بسامد‌ها و اشکال مدي، مقادير میرایی‌های مدي با استفاده از روش نیم‌توان محاسبه شد که نتایج حاصله برای بسامد‌های ارتعاشی و میرایی مدي در جدول‌های ۲ و ۳ ارائه شده است.

نتایج روش شناسایی جستار قله

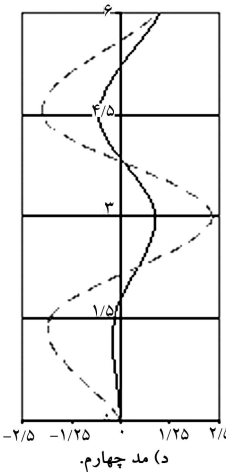
در شکل ۸، نمودار میانگین نرمال شده چگالی‌های طیفی توان حاصل از روش جستار قله برای ارتعاشات جهت شرقی-غربی (راستای اتصالات خورجینی) نشان داده شده است که بسامد‌های شناسایی شده‌ی حاصل از آن در جدول ۲ آورده شده است. همان‌طورکه در شکل ۸ ملاحظه می‌شود، بسامد‌های ۳,۶۳۸، ۱۰,۶۲۰، ۱۹,۵۸۰ و ۲۲,۹۹۸ هرتز به مبنیه‌ی بسامد‌های طبیعی ارتعاشی سیستم کاندید شدند و سپس با استفاده از فرضیات به کار رفته در روش چهار طیفی، تخمین در نظر گرفته شده قطعی شد.

نتایج روش شناسایی زیر فضای تصادفی

در شکل ۹، دیاگرام پایداری که با استفاده از روش SSI برای ارتعاشات راستای شرقی-غربی مدل به دست آمده، رسم شده است. در این دیاگرام نقاطی که با



(الف) مد اول؛

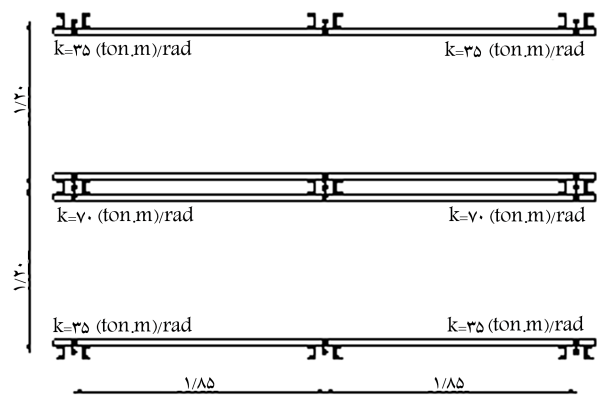


(ب) مد دوم؛

(د) مد چهارم؛

(ج) مددوس؛

شکل ۱۰. پلان سازه‌ی چهار طبقه‌ی اتصال خورجینی برای تحلیل رایانه‌یی.



شکل ۱۰. پلان سازه‌ی چهار طبقه‌ی اتصال خورجینی برای تحلیل رایانه‌یی.

مقایسه‌ی نتایج حاصل از روش‌های به کاررفته برای

شناسایی پارامترهای دینامیکی مدل $\frac{1}{2}$

جدول‌های ۲ و ۳ حاوی نتایج بدست آمده برای بسامدهای ارتعاشی و میرایی ۴ مود اول ارتعاشی راستای شرقی - غربی (اتصالات خورجینی) سازه‌ی مدل $\frac{1}{2}$ هستند که با استفاده از رکوردهای ارتعاش محیطی و تحلیل رایانه‌یی به کمک روش‌های شناسایی بهکاررفته در این تحقیق بدست آمده‌اند و با یکدیگر مقایسه شده‌اند. در این جدول‌ها، همچنین بسامدها و میرایی مدل شناسایی شده از آزمایش ارتعاش اجباری برای مقایسه آورده شده است.^[۱۱] این تذکر لازم است که وضعیت سختی سازه در دو آزمایش ارتعاش محیطی و اجباری یکسان و فقط مقاومت در جرم شیکر افزوده شده به سیستم بوده است. در شکل ۱۱، همچنین چهار مدل اول ارتعاشی سازه که از آزمایش ارتعاش محیطی و تحلیل رایانه‌یی بدست آمده‌اند با یکدیگر مقایسه شده‌اند.

با توجه به جدول ۲، ملاحظه می‌شود که مقادیر بسامدهای حاصله از روش‌های مختلف شناسایی بهکاررفته در تحقیق دارای مقادیر نزدیک بهم هستند و می‌توان قابلیت آن‌ها را در تعیین بسامدهای ارتعاشی تقریباً یکسان دانست. همچنین با توجه به نتایج مدل عددی حاصله برای چهار مدل اول ارتعاشی سیستم، تطابق خوبی ملاحظه می‌شود. شایان ذکر است کاهش بسامدهای حاصل از آزمایش ارتعاش اجباری نسبت به روش ارتعاش محیطی در جدول ۲، به استقرار دو دستگاه لرزاننده به وزن ۲ تن در تراز طبقه‌ی چهارم مربوط می‌شود.

همچنین با توجه به جدول ۳، ملاحظه می‌شود که اولاً: مقادیر میرایی حاصل از روش‌های مختلف، عمدهاً با آفرایش بسامد ارتعاشی دارای سیر نزولی هستند. ثانیاً: میرایی حاصل از روش مکوری نسبت به سایر روش‌ها دارای مقادیر بسیار متفاوتی است که این مقاومت احتمالاً به علت فرض اولیه‌ی مورد استفاده در این روش است که ورودی سیستم را فقط ارتعاشات موجود در پای سازه در نظر می‌گیرد و نقش عوامل دیگری همچون باد، در این روش در نظر گرفته نمی‌شود.

لازم به ذکر است که پس از استخراج لیست بسامدهای مدلی کاندید برای اطمینان از درستی بسامدهای ارتعاشی کاندید شده می‌باشد شکل مذکوره رسم شود تا انتباق آن با اشکال مدلی شناخته شده، مشاهده شود. لذا در شکل ۱۱، اشکال مدلی چهار مدل اول ارتعاشی سیستم بدست آمده از روش‌های مورد بررسی رسم شده است که نتایج حاصل با اشکال مدلی شناخته شده‌ی سازه‌ی چهار طبقه منطبق بوده‌اند.

نتیجه‌گیری

برای ارزیابی دقت روش‌های مختلف شناسایی سیستم، مشخصات دینامیکی (شامل بسامدها، اشکال مدلی و میرایی‌های مدلی) مدل $\frac{1}{2}$ ساختمان چهار طبقه

اجباری باشد که باعث کمتر شدن بسامد ها در حالت آزمایش ارتعاش اجباری به حالت آزمایش ارتعاش محیطی شده است.

همچنین محاسبات میرایی انجام شده با روش های مختلف پردازش نشان می دهد که:

مقادیر میرایی حاصل از روش های مختلف، عمدتاً با افزایش بسامد ارتعاشی دارای سیر نزولی هستند؛

• میرایی حاصل از روش مکوری به سایر روش ها مقادیر بسیار متفاوتی دارد که این تفاوت احتمالاً به علت فرض اولیه ای تحلیل با استفاده از این روش باشد که ورودی سیستم را فقط ارتعاشات موجود در پای سازه درنظر می گیرد و نقش عوامل ورودی دیگری همچون باد، در این روش درنظر گرفته نمی شود؛

• علت اختلاف نسبتاً زیاد میرایی های به دست آمده از روش های چهار طیفی، SSI و تست ارتعاش اجباری می تواند ناشی از تغییر در ماهیت روش ها و مدل مورد آزمایش و یا ناشی از مکانیزم پیچیده میرایی باشد که علی رغم پیچیدگی زیاد آن، در دینامیک سازه ها برای سادگی کار میرایی از نوع چسبندگی و متناسب با سرعت درنظر گرفته می شود.

در مجموع، نتایج پژوهش حاضر نشان می دهد که با وجود عدم اختلاف قابل توجه در مقادیر بسامد های مودی به دست آمده از چهار روش، روش های زیرفضای تصادفی و چهار طیفی قادر به برآورد دقیق تر مقادیر میرایی مدلی هستند. همچنین با استفاده از روش چهار طیفی و مک وری، اشکال مدل اول ارتعاشی با دقت بالاتری برآورده شود. این تذکر لازم است که تعمیم نتایج فوق به دیگر سازه ها نیازمند انجام آزمایش های مختلف بر روی سازه های متنوع و پردازش نگاشت های ثبت شده با استفاده از روش های مذکور است.

اسکلت فلزی با استفاده از چهار روش مختلف پردازش شد و نتایج زیر استخراج شد:

- نتایج حاصله نشان می دهد بسامد های ارتعاشی به دست آمده از تمامی روش های موربد بررسی دارای مقادیر نزدیک به یکدیگر است؛

- در روش مکوری به علت فرض خطی بودن پاسخ سازه، بسامد های ارتعاشی و میرایی مodal سیستم باید از محل برداشت پاسخ مستقل باشند. حال آن که برای هر نقطه ای برداشت یک گروه از پارامترهای متفاوت حاصل می شود. این تفاوت در مورد بسامد، بسیار جزئی و قابل اغماض است، در صورتی که مقادیر حاصله برای میرایی با پراکندگی بسیار ملاحظه می شود؛

- تئوری والگوریتم دو روش چهار طیفی و جستار قله برای تعیین درصد میرایی و اشکال مودی، مانند یکدیگر است و تفاوت آن ها فقط در تعیین بسامد های ارتعاشی است به طوری که در روش جستار قله از میانگین نرم ال شده تابع چگالی طیفی تمامی حسگرها برای تعیین بسامد های ارتعاشی استفاده می شود ولی در روش چهار طیفی برای تعیین بسامد های ارتعاشی از خاصیت چهار طیف: (۱) توان نگاشت ثبت شده در نقاط مختلف سازه، (۲) چگالی توان متقاطع هر نقطه به نقطه مرجع، (۳) ارتباط و (۴) فار متقاطع آن ها به صورت هم زمان استفاده می شود و نهایتاً با رسم اشکال مدلی متناظر با بسامد های ارتعاشی در مورد آن ها به قطعیت می رسیم؛

- بسامد های شناسایی شده در آزمایش ارتعاش محیطی تفاوت قابل توجهی با بسامد های شناسایی شده از آزمایش ارتعاش اجباری دارد. علت این تفاوت می تواند وجود لرزانده سنگین روی طبقه چهارم مدل در آزمایش ارتعاش

پابلوشت

1. cross spectral density
2. peak picking
3. stochastic subspace identification
4. normalized error
5. Hanning
6. welch method
7. cross power spectra
8. coherence spectra

منابع

1. Kawasumi, H. and Shima, F. "Some application of a correlator to engineering problem", *Proc. of the 3rd World Conf. on EQ. Eng.*, New Zealand (1965).
2. Hart, G.C.; McLamore, V.R. and Stubbs, I.R. "Ambient vibration of two suspension bridge", *J. Str. Div., ASCE.*, **97**(10), pp. 2567-2582 (1971).
3. Beck, J. and Jennings, P.C. "Structural identification using linear models and earthquake records", *Earthquake engineering and structural dynamics*, **8**, pp. 145-160 (1980).
4. Mcverry, G.H. "Structural identification in frequency domain from earthquake records", *Earthquake engineering and structural dynamics.*, **8**, pp 161-180 (1980).
5. Felber, A.J. "Development of hybrid bridg evaluation system", *PhD Thesis, University of British Columbia, Vancouver, Canada* (1993).
6. Davoodi, M. "Dynamic characteristic evaluation of embankment dams by forced and ambient vibration tests", *Ph.D. thesis, International Earthquake Engineering and Seismology*, Tehran, I.R. Iran (2003).
7. Davoodi, M.; Amel sakhi, M. and Khandan Bakavoli, M. "Using advanced signal processing techniques on ambient vibration records of a structur", *International Symposium on Advances in Earthquake & structural Engineering*, Isparta-Antalya, Turkey, (2007).
8. Skolnik, D.; Lei, Y.; Yu, E. and Wallace., W. "Identification, model updating, and response prediction of an instrumented 15-story steel-frame building", *Earthquake Spectra*, **22**(3), pp. 781-802 (2006).

9. Arici, Y. and Mosalam, K.M. "System identification of instrumented bridge system", *Earthquake Engineering and structural dynamics*, **32**, pp. 999-1020 (2003).
10. Bendat, A.S. and Pirsol, A.G. "Engineering application of correlation and spectral analysis", *Wiley: New York* (1984).
11. Yadgari, J. "Modal identification of systems with output alone; Babolsar bridge case study", *Ms. Thesis (in Persian)*, International Institute of Earthquake Engineering and Seismology, Tehran, I.R. Iran (2007).
12. Ghafoori Ashtiani, M.; Kazem, H. and Tive M. "Dynamic test on a 1/2 scaled 4 story steel structure with Khorjini connections", *Research Report, International Institute of Earthquake Engineering and Seismology, Tehran, I.R. Iran* (1998).